

## ФОТОДИОД С УПРАВЛЯЕМОЙ СПЕКТРАЛЬНОЙ ХАРАКТЕРИСТИКОЙ ФОТООТКЛИКА

В.А. Манассон, В.К. Дугаев,  
Э.М. Шустер

В сообщении описана новая фотодиодная структура, отличающаяся наличием в приповерхностной области дефектов типа "уровней прилипания" для основных носителей заряда. Введение таких дефектов позволило осуществить управление спектральной характеристикой фотоотклика при помощи небольшого запорного напряжения. Структура может использоваться в устройствах, где необходимо выделить коротковолновую составляющую из всего спектрального диапазона фотоотклика. При этом отпадает необходимость в использовании дорогостоящих светофильтров.

Принцип работы фотодиода поясняется зонными диаграммами, показанными на рис. 1, а, б. Электроны 1, генерированные светом вблизи поверхности, в зависимости от взаимного расположения уровня прилипания  $E_0$  и уровня Ферми  $F$  могут либо захватываться на уровень  $E_0$  (рис. 1, а), либо не взаимодействуют с ним (рис. 1, б). В последнем случае вероятность захвата мала вследствие того, что уровень уже заполнен электронами. Электроны 2, генерированные вдали от поверхности, не взаимодействуют с уровнем при любом расположении уровней  $E_0$  и  $F$ . При прерывании светового пучка с достаточно большой частотой уровень  $E_0$  не будет успевать перезаряжаться, в результате чего переменная составляющая фототока, образованная электронами 1, будет исчезающей малой. Переменный фототок в этом случае будет определяться только электронами 2. Отношение числа электронов типа 1 и 2 зависит от коэффициента поглощения света в полупроводниковом материале, и через этот коэффициент зависит от длины волны излучения. Для длинноволнового излучения удельный вес электронов 1 мал и переменный фототок слабо зависит от взаимного расположения уровней  $E_0$  и  $F$ . В коротковолновом пределе, наоборот, фотоотклик будет существенно зависеть от расположения этих уровней, что и позволяет управлять спектральной характеристикой фотоотклика путем изменения приложенного напряжения. Если уровень  $E_0$  моноэнергетический, то для резкого изменения вероятности его заполнения требуется напряжение всего несколько  $kT/q$ .

Эксперимент проводился на фотодиодной структуре  $In_2O_3-SiO_x-Si$  с туннельно-прозрачным слоем диэлектрика.  $In_2O_3$  играл роль "металла", прозрачного в области 0.3-1.2 мкм. Для внесения дефектов в приповерхностную область кремния перед нанесением слоя  $In_2O_3$  проводилось фосфорное геттерирование с последующим неполным удалением геттерного слоя.

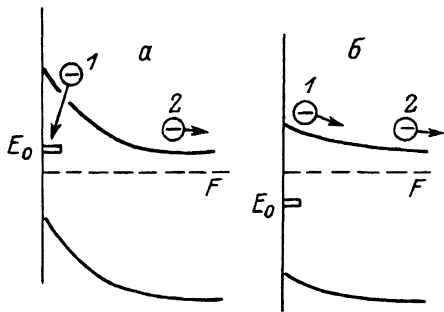


Рис. 1. Зонная диаграмма фотодиодной структуры при запорном напряжении (а) и в равновесных условиях (б).

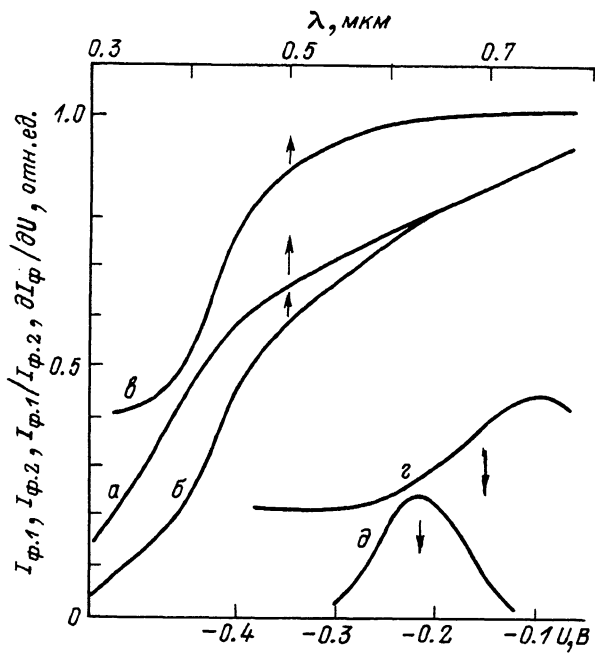


Рис. 2. Спектральные зависимости фотооткликов  $I_{\phi 1}$  (а),  $I_{\phi 2}$  (б) и их отношения  $I_{\phi 1}/I_{\phi 2}$  (в).  $I_{\phi 1}$  измерена при запорном напряжении 0.1 В,  $I_{\phi 2}$  — при 0.3 В. Полевая зависимость фотоотклика  $I_{\phi}$  измерена на длине волны света 0.4 мкм (кривая г) и ее производная  $\partial I_{\phi} / \partial U$  (кривая д).

Без такой предварительной обработки описываемые в статье эффекты не наблюдались.

На рис. 2 представлены спектральные зависимости фотооткликов структуры при двух напряженных смещениях (кривые а и б), а также их отношения (кривая в). Измерения проводились при модуляции светового потока с частотой 130 Гц. Из рисунка видно, что в области коротких длин волн смещение всего на 0.2 В приводит к двукратному изменению фотоотклика, тогда как в области длинных волн сигнал практически не меняется с напряжением. Полевая зависимость фотоотклика для света с длиной волны 0.4 мкм представлена кривой г, а ее производная по напряжению  $\partial I_{\phi} / \partial U$  - кривой д. Полуширина последней близка к величине  $4kT/q$ , что согласуется с описанной выше моделью.

Описанная структура может быть использована в колориметрических устройствах и анализаторах спектрального состава излучения благодаря высокой чувствительности к излучению и эффективности управления спектральной зависимостью фотоотклика напряжением.

Институт проблем  
материаловедения  
АН УССР  
Черновицкой отделение

Поступило в Редакцию  
21 июня 1989 г.

Письма в ЖТФ, том 15, вып. 18                    26 сентября 1989 г.  
07

## ЭФФЕКТ ОТОБРАЖЕНИЯ ГИЛЬБЕРТ-ОБРАЗА ПУЧКА ИЗЛУЧЕНИЯ В ИЗОБРАЖЕНИЯХ ФРЕНЕЛЯ ДИФРАКЦИОННОЙ СТРУКТУРЫ

Э.Н. Б а л а ш о в а, М.В. Н е о ф и т н ы й,  
В.А. С в и ч

Известно явление безлинзового отображения Фурье-образа пучка в зоне дифракции Френеля [1-5]. Однако реализовать безлинзовое преобразование Гильберта в указанной зоне дифракции до сих пор не удавалось. С другой стороны, в различных теневых приборах, устройствах распознавания образцов [6-8] существует необходимость данного преобразования.

В настоящей работе сообщается об эффекте наблюдения Гильберт-образа пучка излучения в изображениях Френеля как амплитудной, так и фазовой дифракционной структуры, состоящей из двух участков с различными значениями отношения поперечных размеров штрихов к периоду Т их расположения. Геометрия дифракционной структуры, у которой  $T, T - d \gg \lambda$ , где  $\lambda$  -